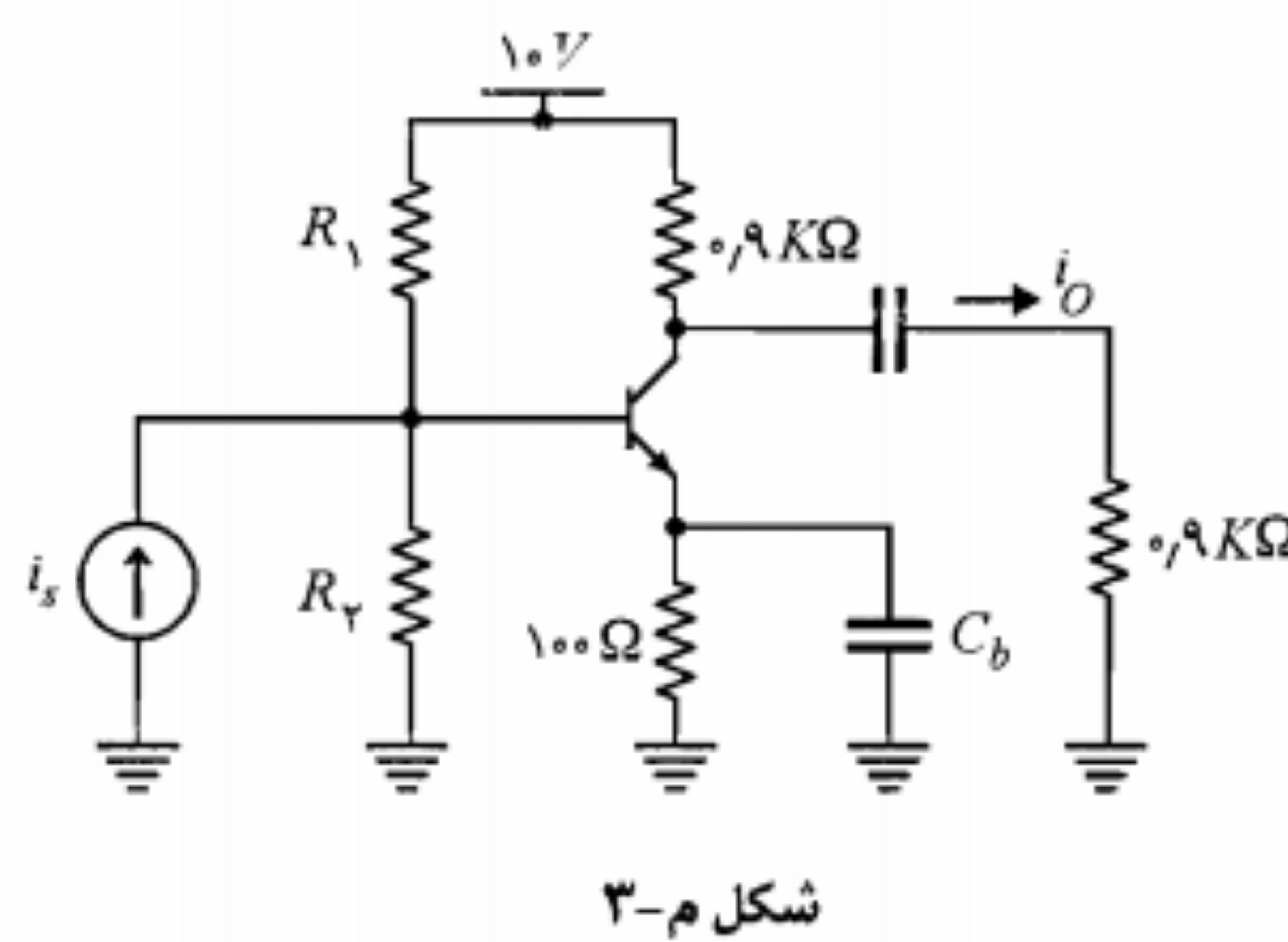


۸-۵ مسائل

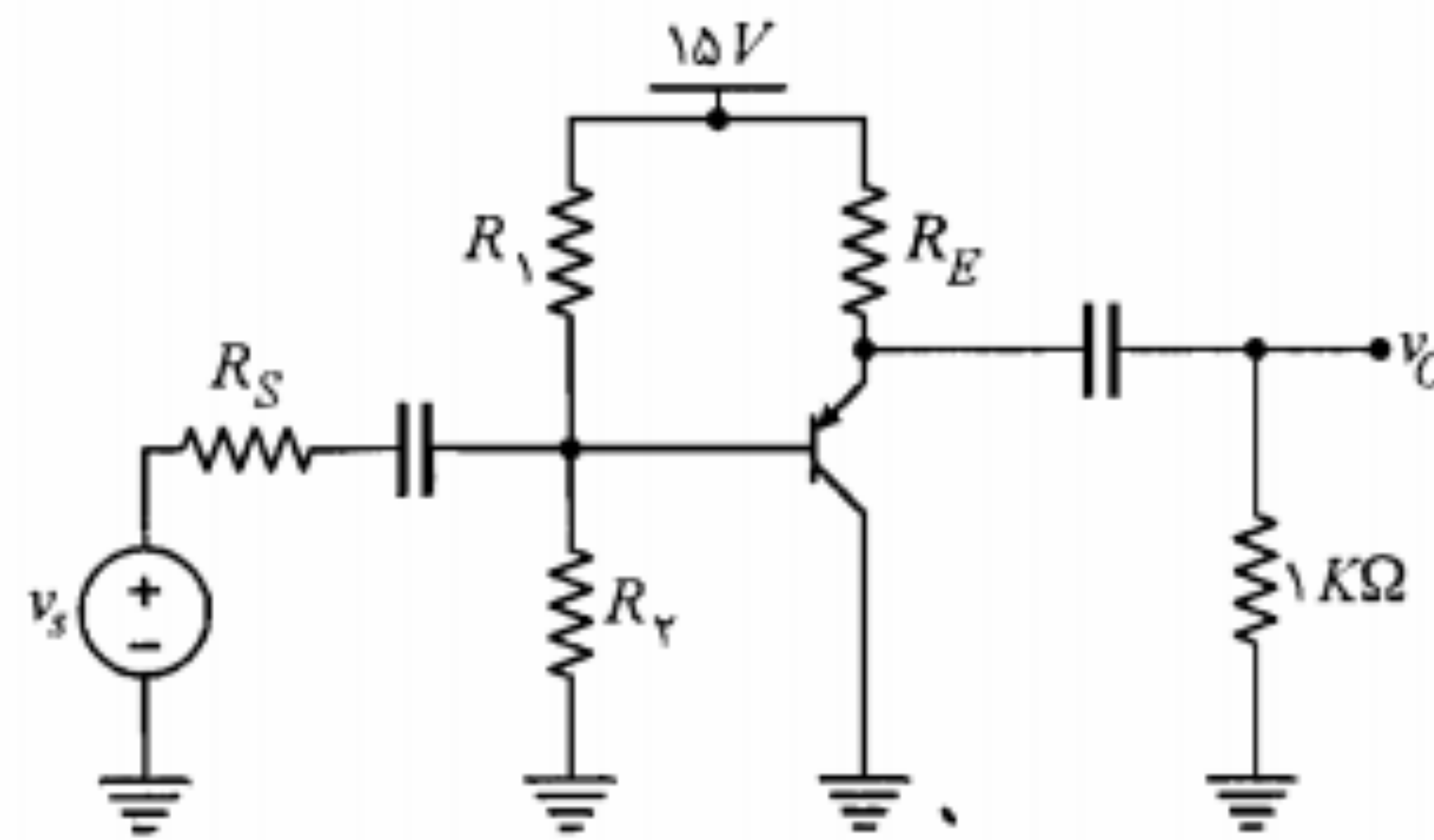
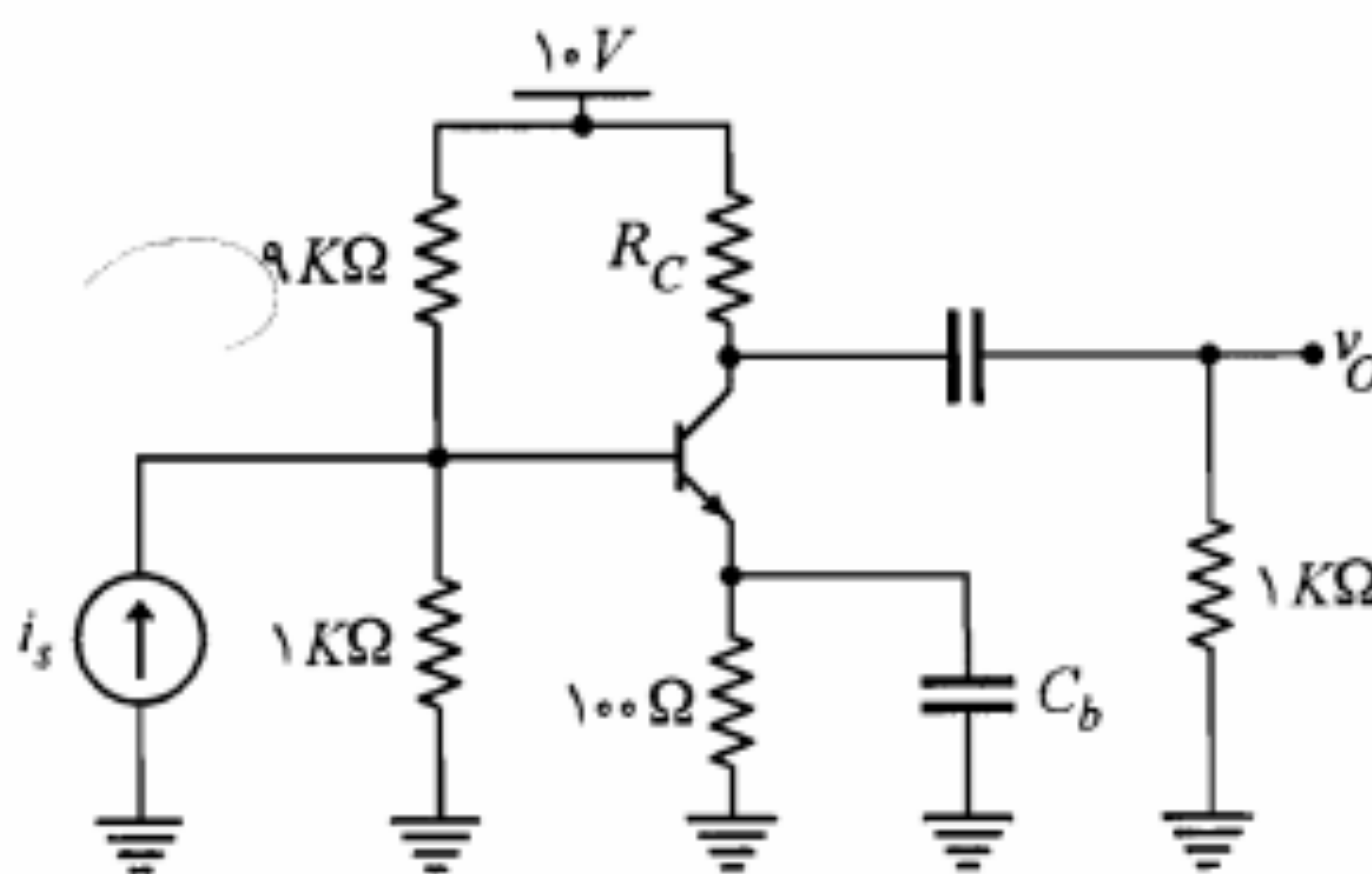


۴. در مدار شکل م-۴ با فرض $V_{EB} = 0.7V$, $V_{EC(sat)} = 0.2V$ و $100 < \beta < 500$
الف) معادله خط بارهای DC و ac را به دست آورید.

ب) مقادیر مقاومتهای R_E , R_V و R_1 را طوری تعیین کنید که نقطه کار نسبت به تغییرات β

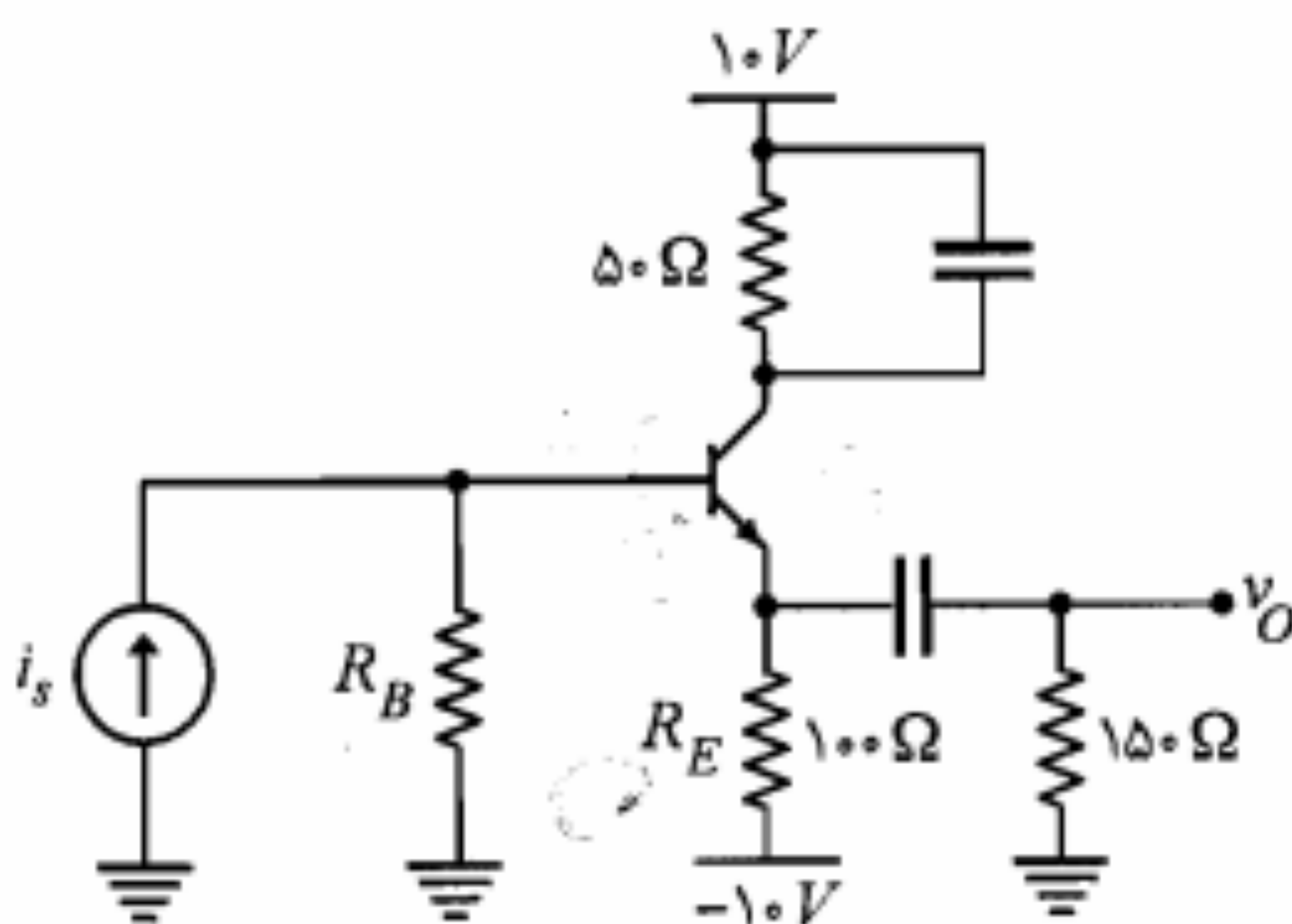
پایدار بوده و v_O بتواند در سیکل مثبت تا ۸ ولت و در سیکل منفی تا ۴ ولت نوسان بدون حداقل دامنه نوسان متقارن v_O را مشخص کند.

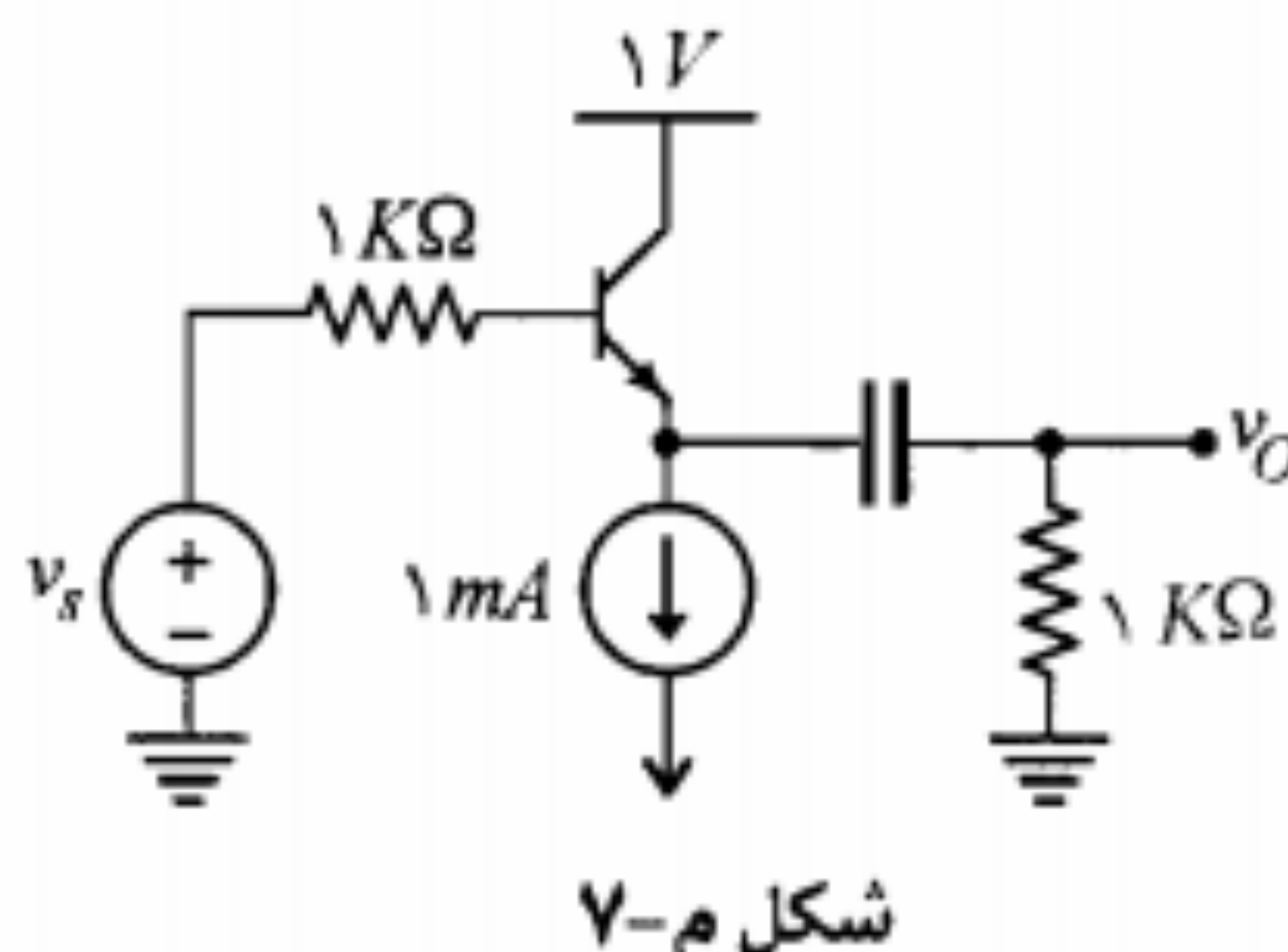
۱. در مدار شکل م-۱، با فرض $\beta = 100$ و $V_{CE(sat)} = 0.2V$ ، مقدار R_C را طوری تعیین نمایید که دامنه نوسان متقارن ولتاژ v_O حداقل شود.



۵. در تقویت‌کننده شکل م-۵ با فرض $V_{BE} = 0.7V$, $\beta = 100$ و $100 < \alpha < 500$
الف) دامنه نوسان متقارن v_O را به دست آورید.

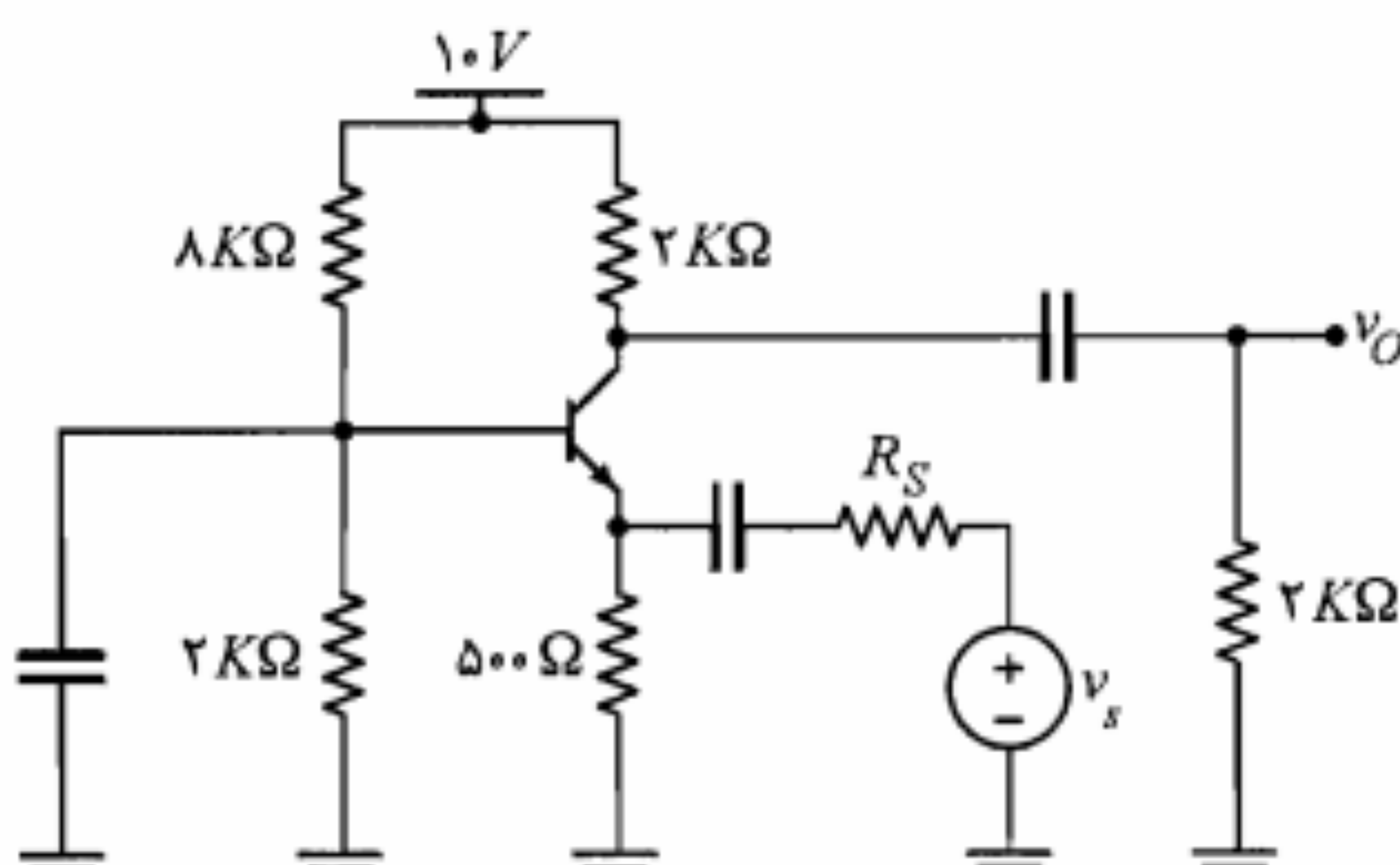
۳. تقویت‌کننده شکل م-۳ را با فرض $\alpha = 99$ در نظر بگیرید.
الف) R_C را طوری محاسبه کنید که دامنه نوسان متقارن جریان i_O حداقل شود.
ب) خط بارهای DC و ac رارسم کنید؛ حداقل دامنه جریان کلکتور چقدر است?
ج) حداقل دامنه جریان i_O چقدر می‌تواند باشد؟



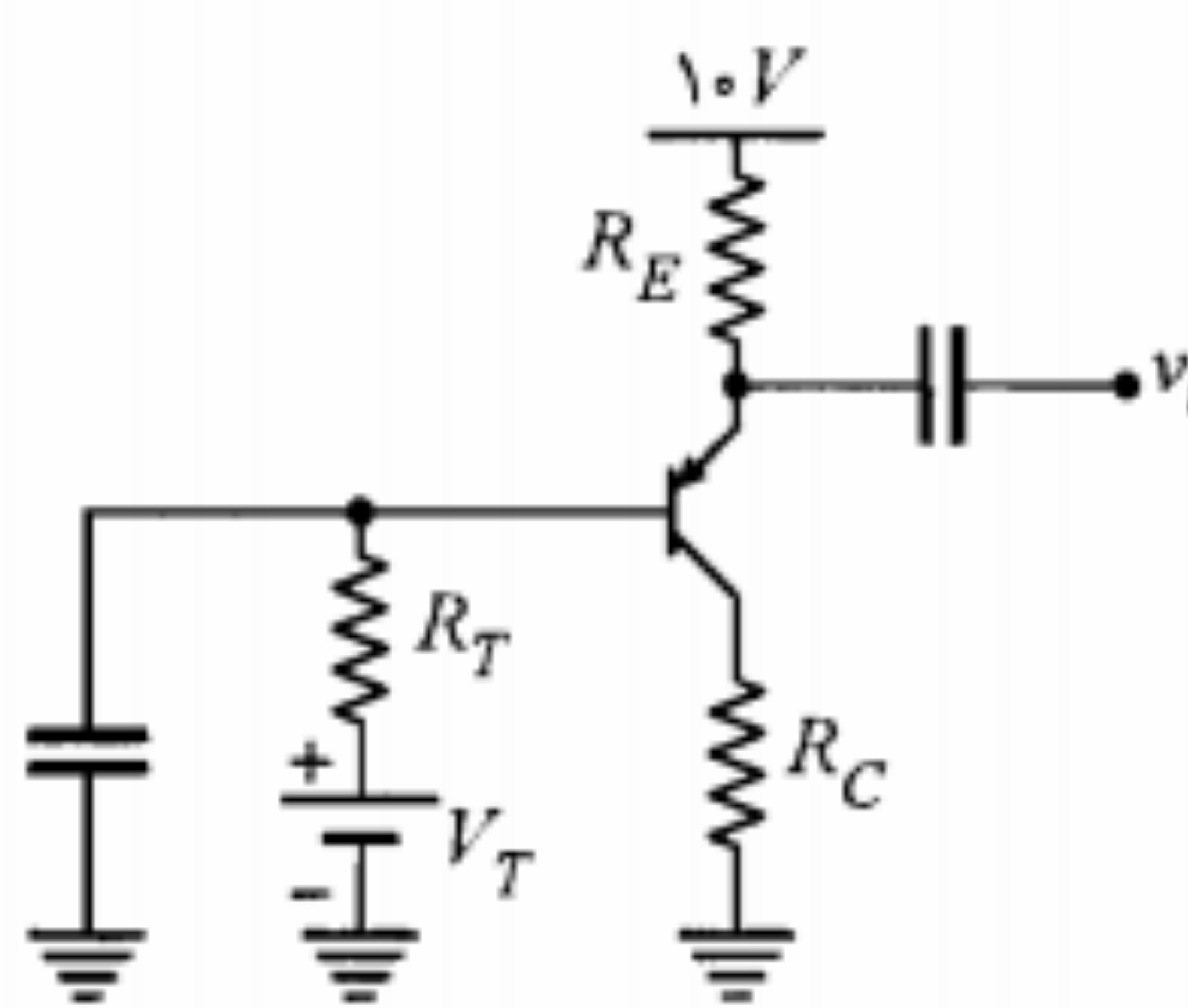


۸. در مدار بیس مشترک شکل م-۸ با شرط پایداری نقطه کار نسبت به تغییرات β و اینکه نقطه کار وسط خط بار ac قرار داشته باشد، نشان دهید

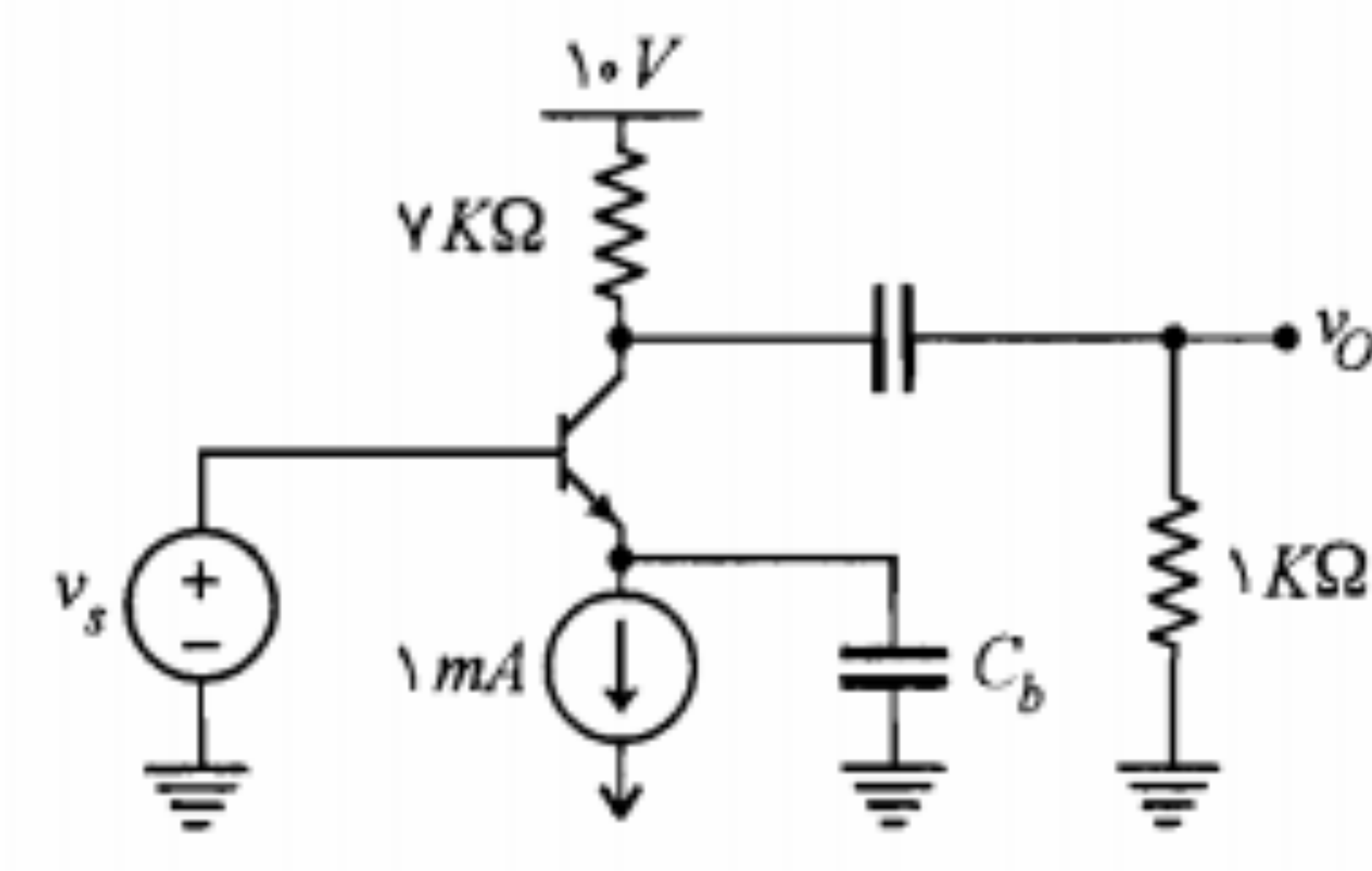
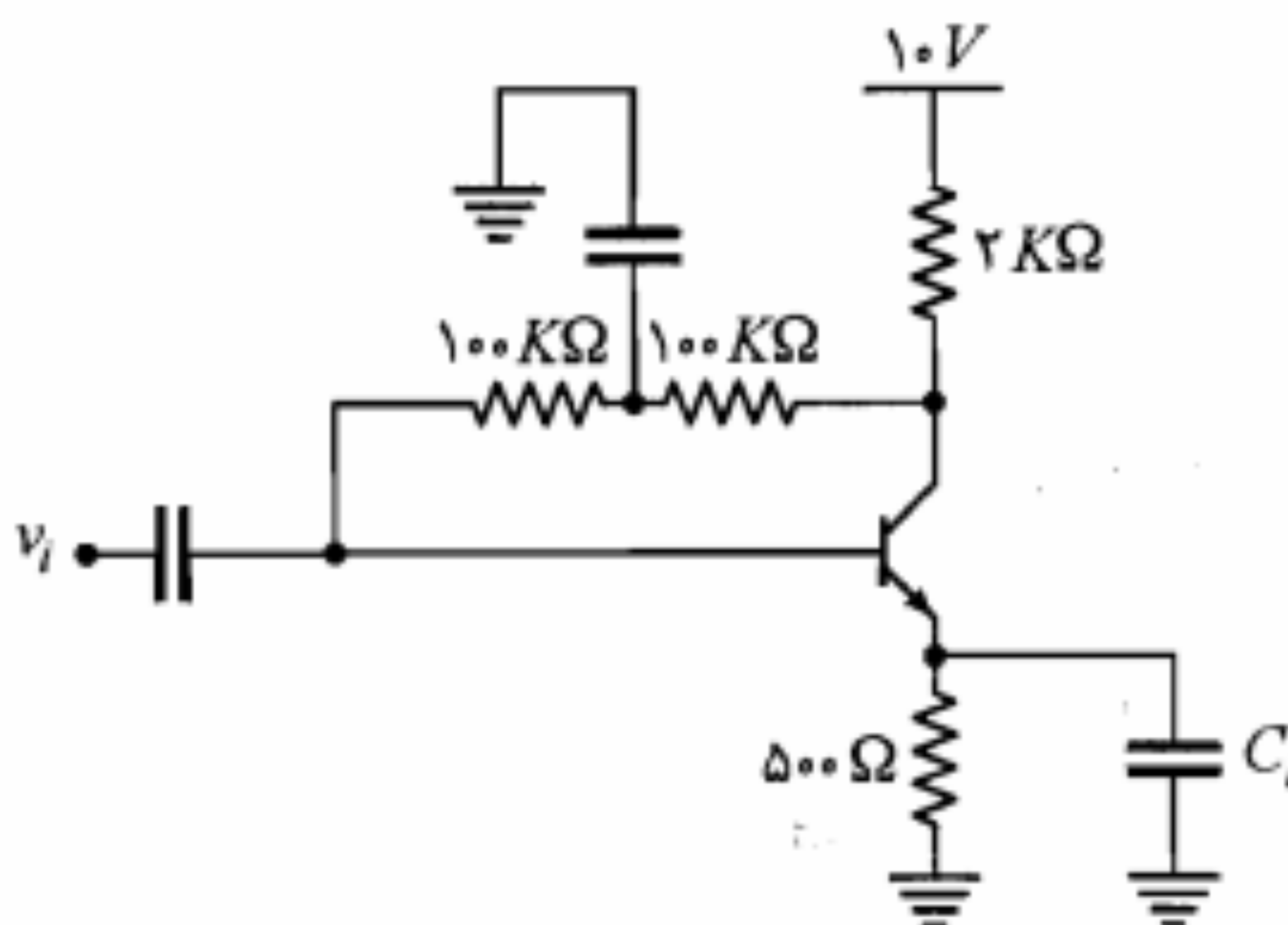
$$\frac{R_C}{R_E} = \frac{V_T}{2(9/3 - V_T)}$$



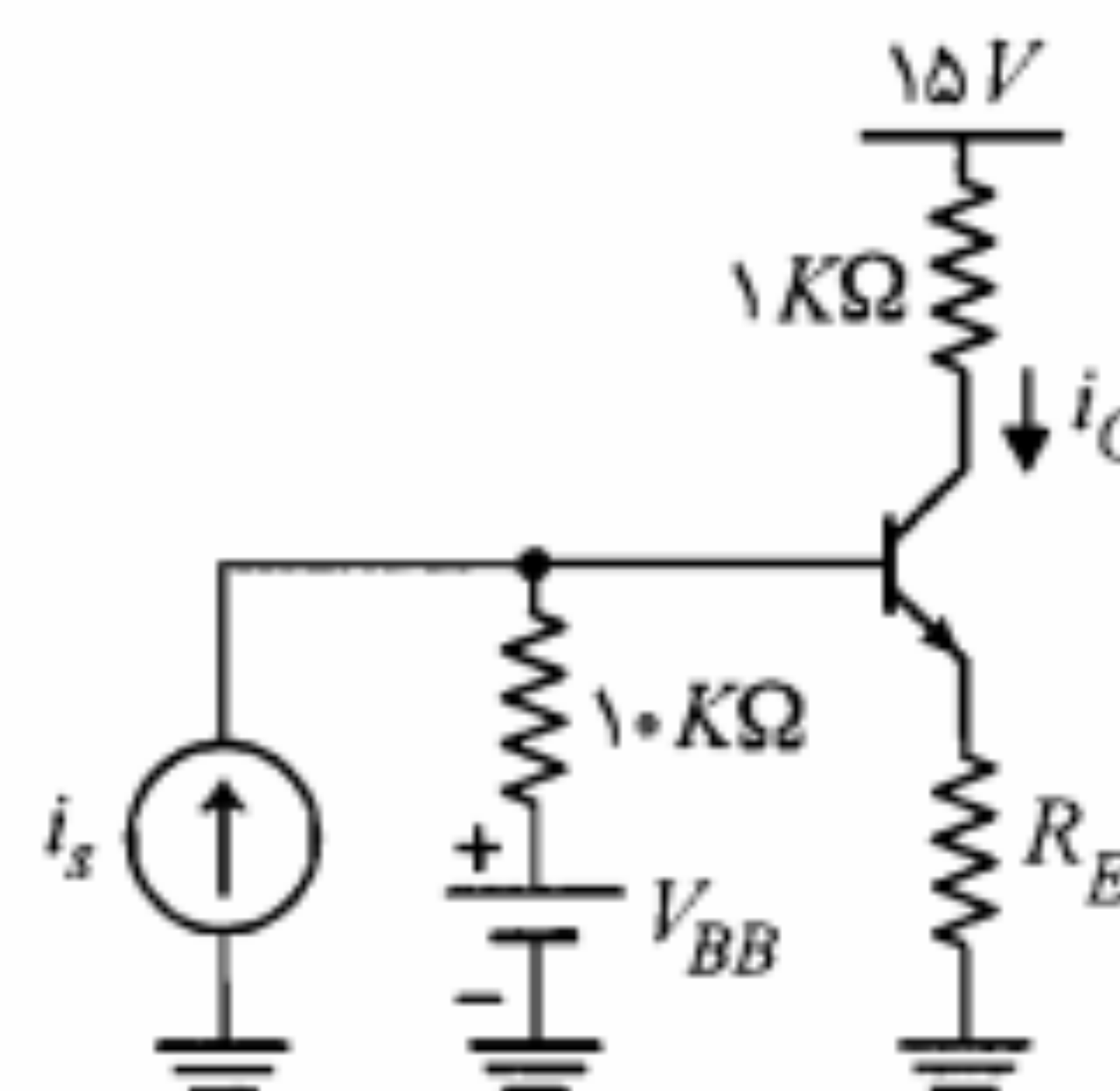
۶. در مدار شکل م-۶، با فرض $\beta = 400$ و $V_{CE(sat)} \approx 0.2V$ ، مختصات نقطه کار ترانزیستور را به دست آورید. حداکثر دامنه نوسان متقارن جریان کلکتور چقدر است؟



۹. برای تقویت‌کننده شکل م-۹، با فرض $V_{CE(sat)} = 0.2V$ ، $V_{BE} = 0.7V$ و $\beta = \infty$ حداکثر ولتاژ مثبت و منفی خروجی چقدر است؟



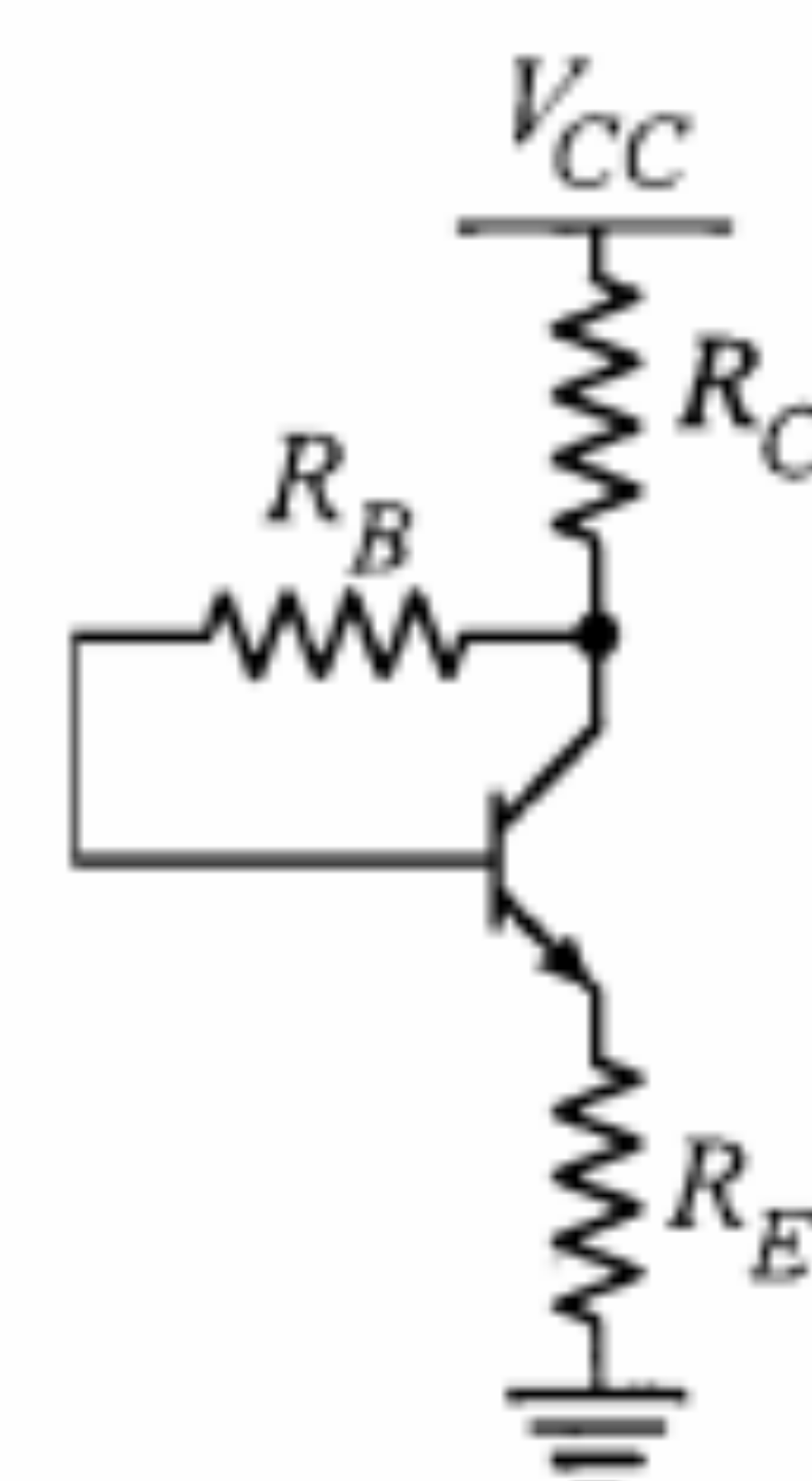
۷. در مدار شکل م-۷ حداکثر دامنه ولتاژ ورودی v_s برای هر یک از حالت‌های زیر با فرض $\beta = \infty$ و $V_{CE(sat)} = 0.2V$ ، $V_{BE} = 0.7V$ الف) در سیکل منفی ولتاژ خروجی برش ایجاد شود.
ب) در سیکل مثبت ولتاژ خروجی برش ایجاد شود.



شکل م-۱۲

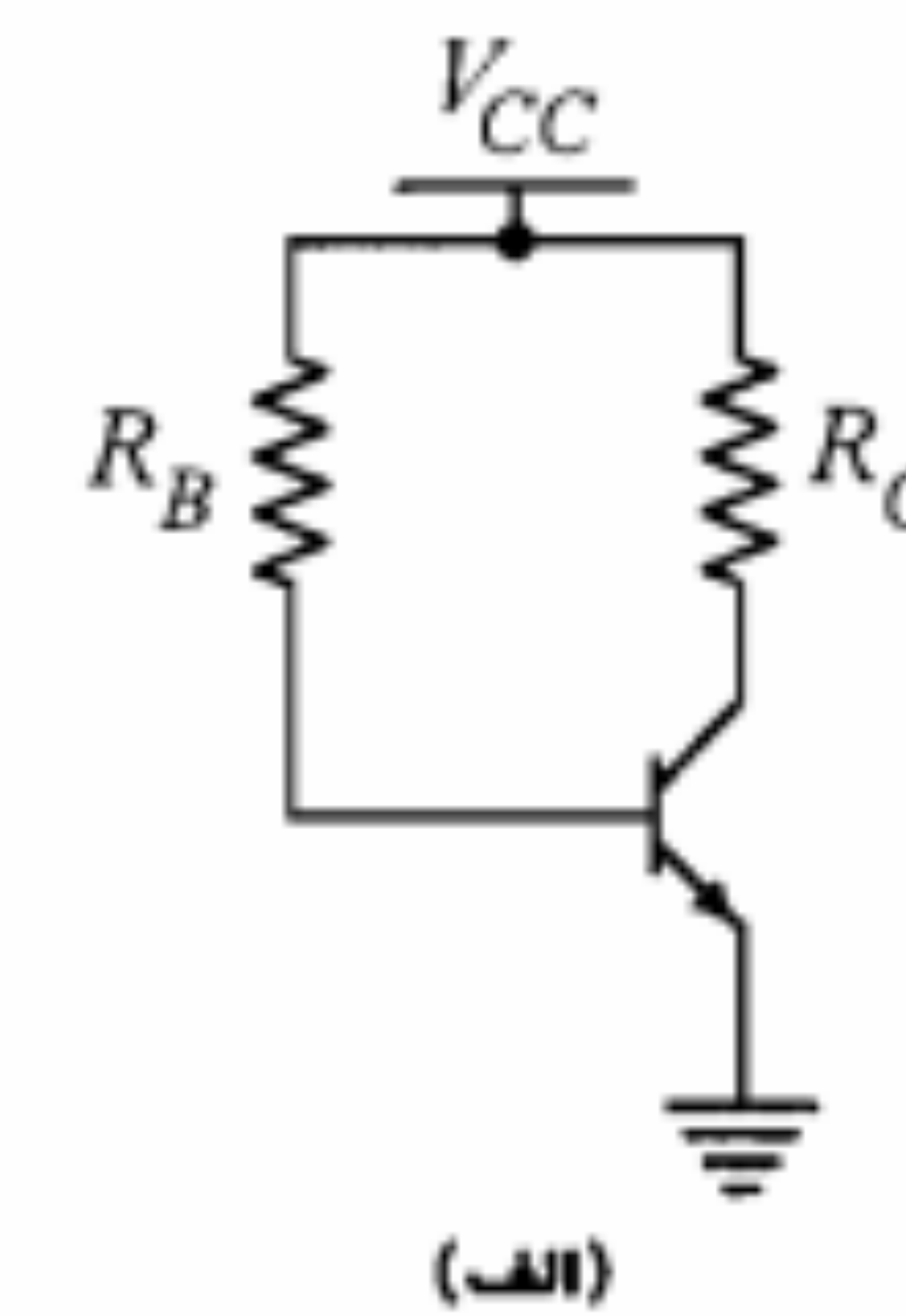
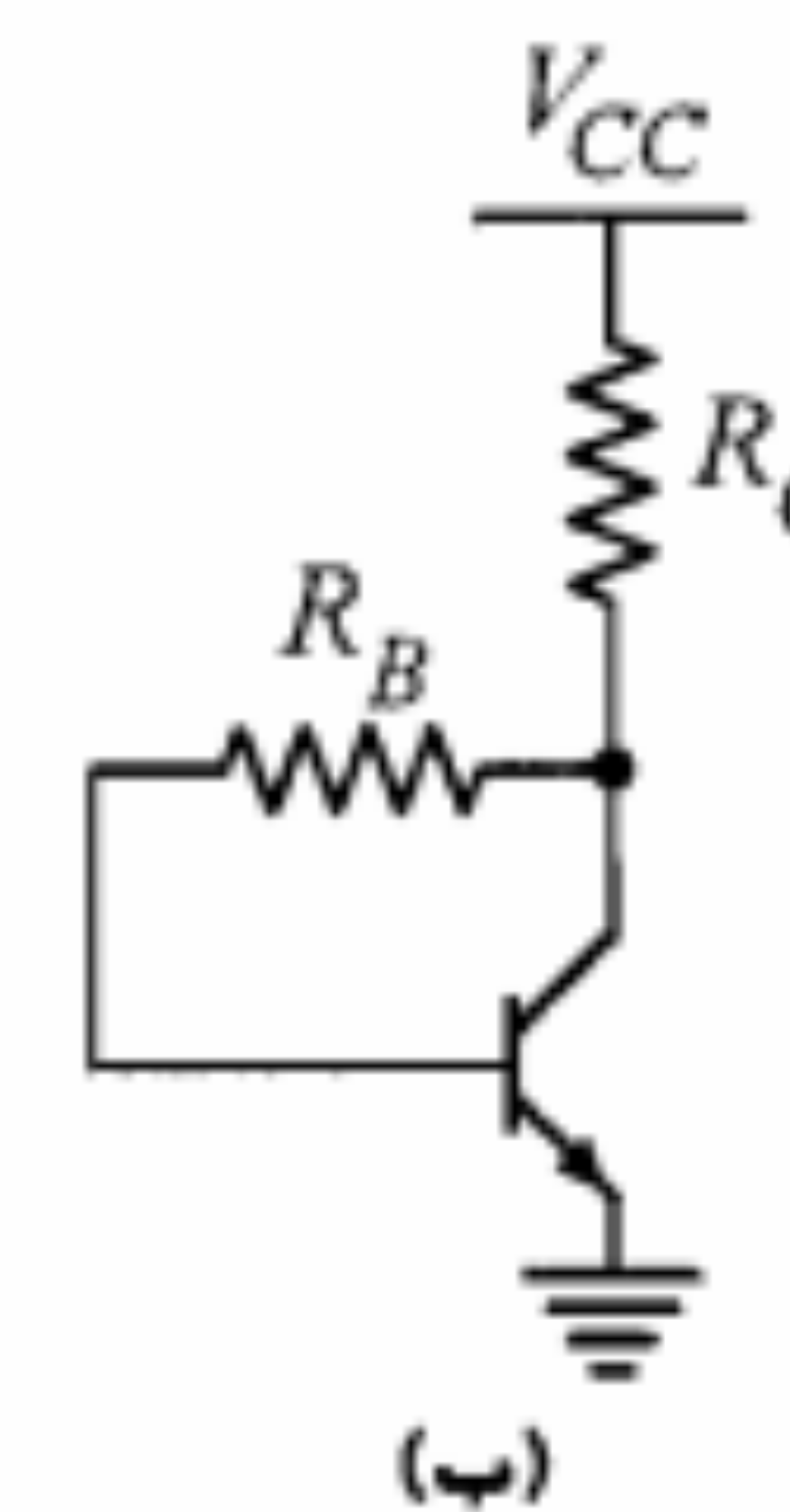
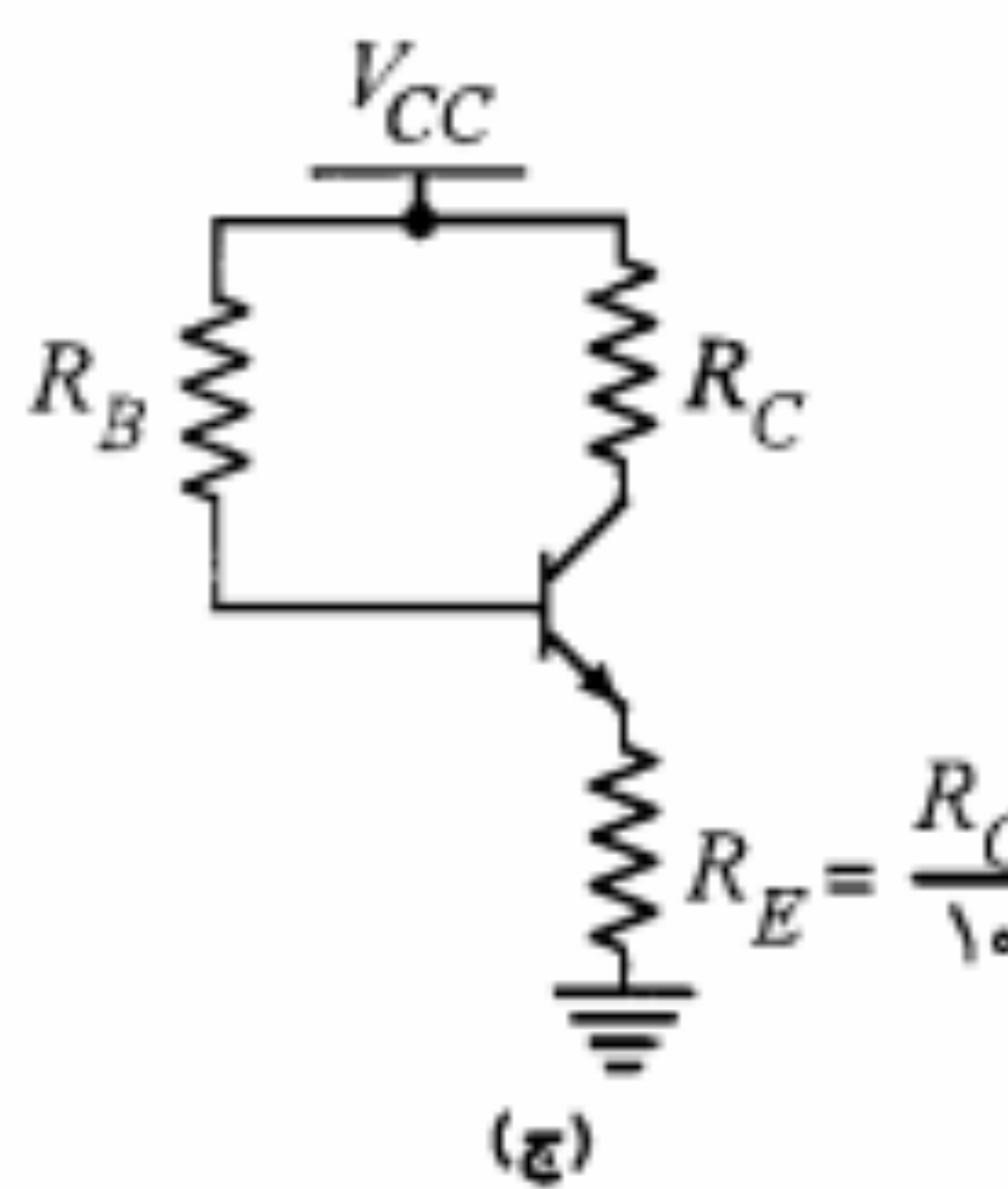
۱۳. در مدار شکل م-

- (الف) ضرایب پایداری جریان نقطه کار را نسبت به تغییرات V_{BE} و I_{CBO} به دست آورید.
 (ب) با فرض $R_E = 0$ ، حساسیت نقطه کار نسبت به تغییرات دو عامل فوق چگونه است؟ چرا؟



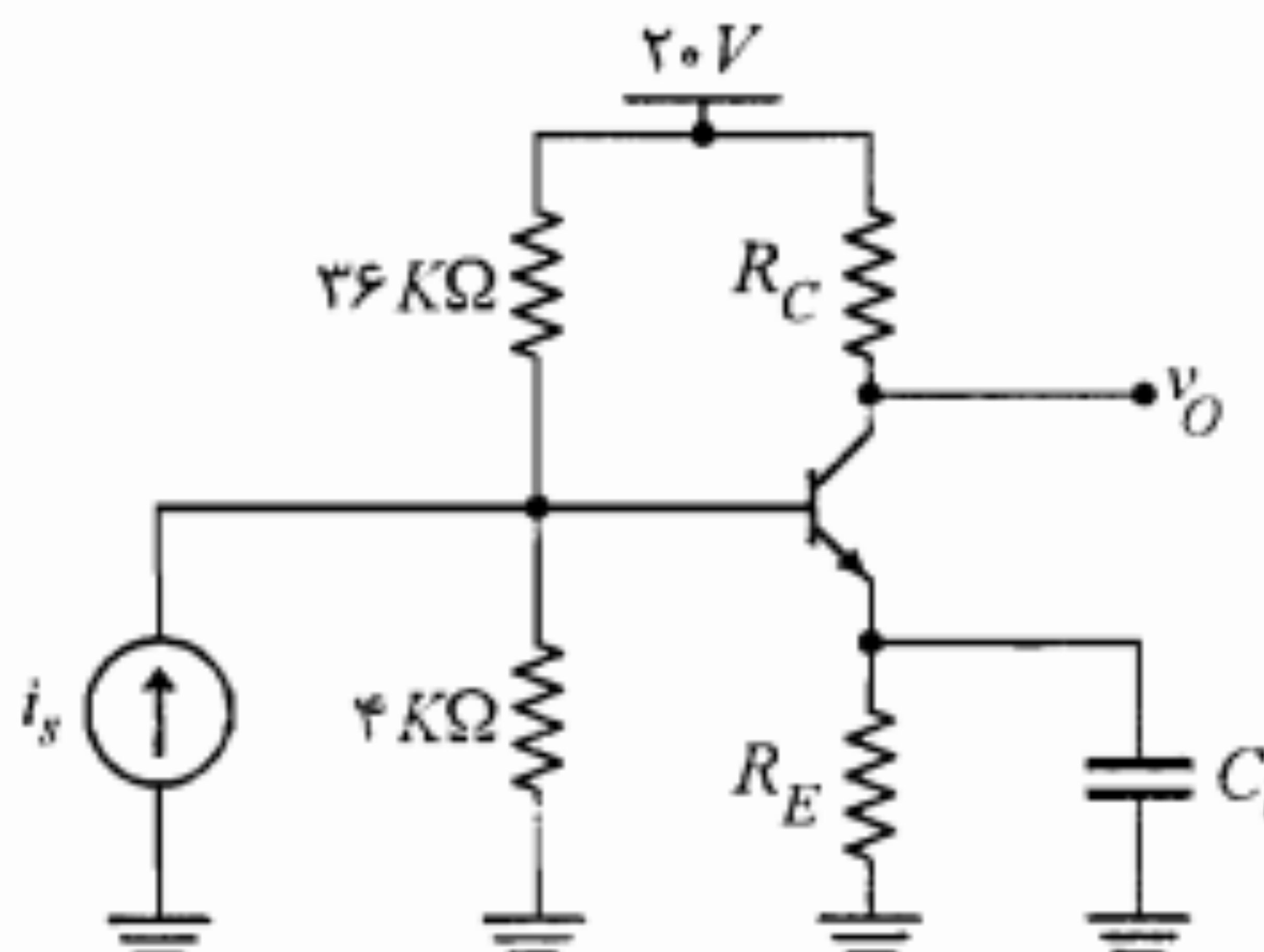
شکل م-۱۳

۱۴. ضرایب پایداری S_V ، S_I و S_β را برای سه مدار شکل م-۱۴ به دست آورده و با هم مقایسه نمایید.



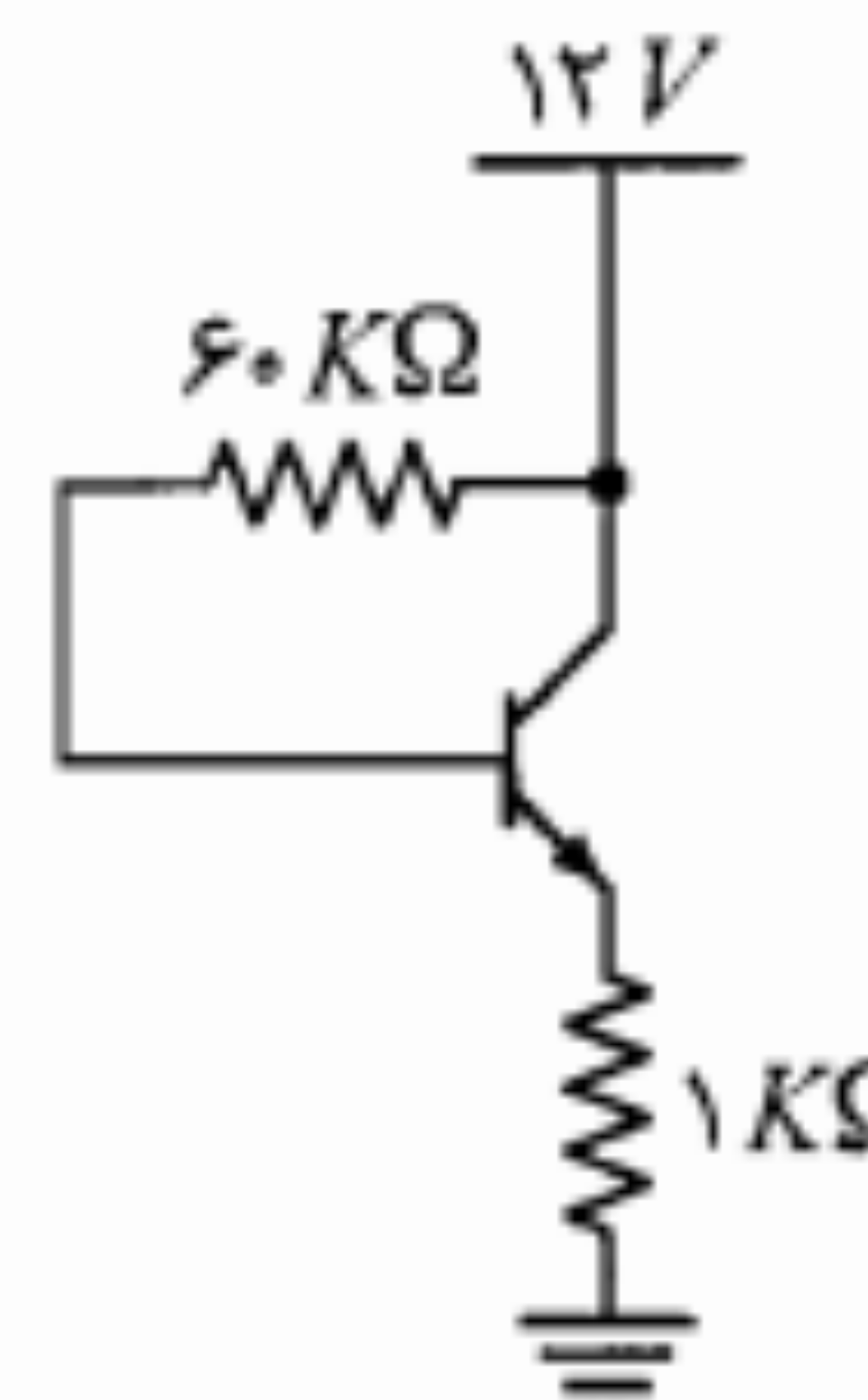
شکل م-۱۴

۱۰. در شکل م-۱۰، برای ترانزیستور $\beta < 60$ و $V_{BE} = 0.7V$ را طوری تعیین کنید که نقطه کار از پایداری مطلوبی نسبت به تغییرات β برخوردار بوده و ضمناً دامنه نوسان متقارن خروجی حداکثر شود. حداکثر دامنه نوسان خروجی چقدر است؟



شکل م-۱۰

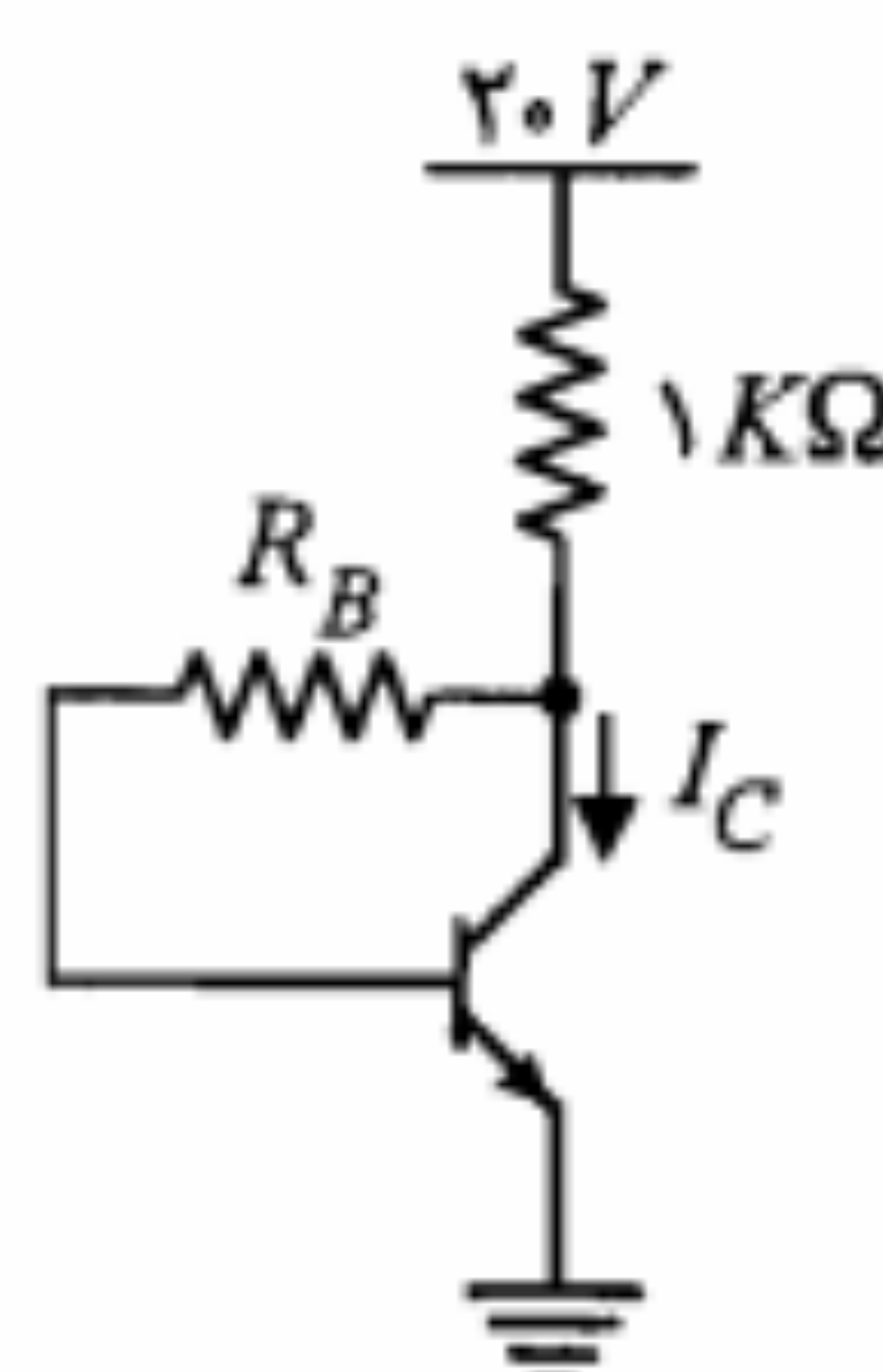
۱۱. در مدار شکل م-۱۱، با فرض $V_{BE} = 0.7V$ ، $\beta < 200$ و $V_{CC} = 12V$ ، تغییرات جریان کلکتور نقطه کار را محاسبه کنید.



شکل م-۱۱

۱۲. در تقویت‌کننده شکل م-۱۲ می‌خواهیم تقویت‌کننده را طوری طراحی نماییم که دامنه نوسان متقارن جریان کلکتور حداکثر باشد. اگر برای ترانزیستور به کار رفته β بین ۵۰ تا ۱۵۰ تغییر کند و $V_{BE} = 0.7V$ باشد، V_{BB} و R_E را محاسبه نمایید. حداکثر دامنه نوسان i_c را به دست آورید.

برای $200^{\circ}C < T < 100^{\circ}C$ و $\beta = 50$ محاسبه نمایید.



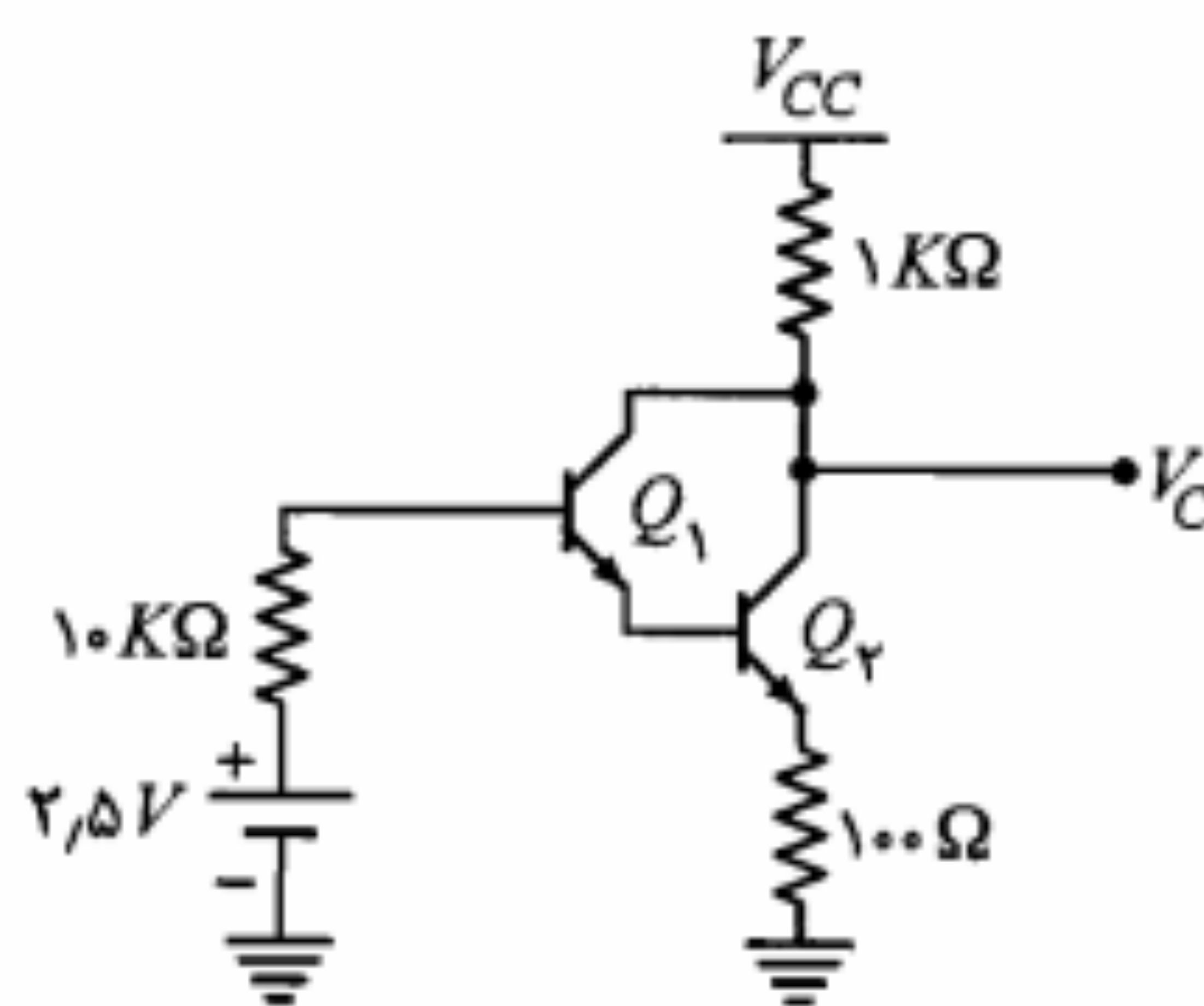
شکل م-۱۷

۱۸. اگر در مدار شکل م-۱۷ مقاومت R_E را به امیتر اضافه کنیم. نشان دهید جریان کلکتور نقطه کار از رابطه زیر به دست می آید:

$$I_{CQ} = \frac{\beta(R_E + R_B + R_C)I_{CBO} + \beta(V_{CC} - V_{BE})}{R_B + (\beta + 1)(R_E + R_C)}$$

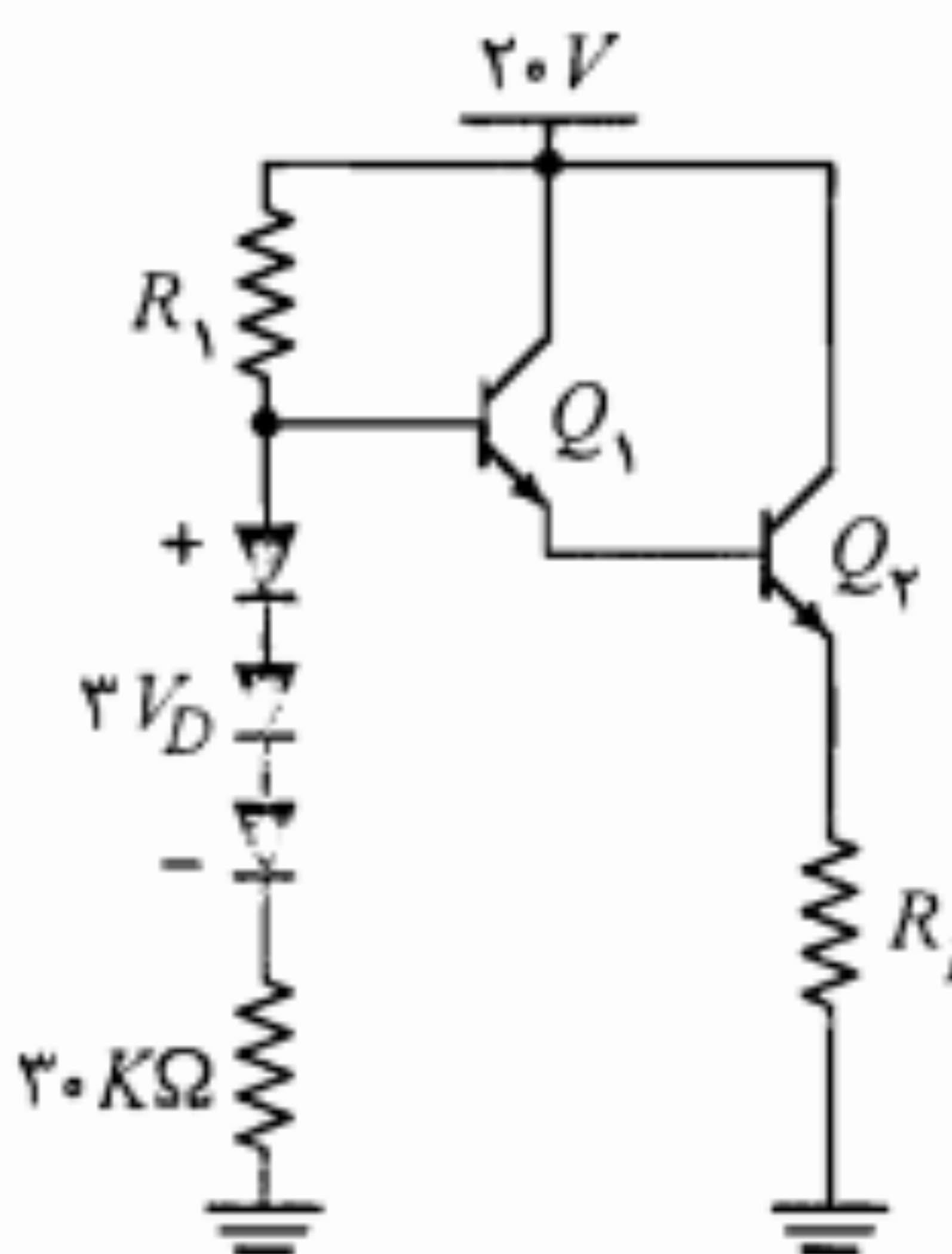
همچنین S_I , S_V و S_β مدار را محاسبه نمایید.

۱۹. در تقویت‌کننده مدار شکل م-۱۹، ترانزیستورهای Q_1 و Q_2 مشابه و از جنس سیلیکون می‌باشند. برای این ترانزیستورها در دمای $25^{\circ}C$ ، $I_{CBO} = 0.1\mu A$ ، $V_{BE} = 0.7V$ و $V_{CC} = 6V$ است. با فرض $\beta = 20$ ، تغییرات ولتاژ V_C را وقتی دما از $25^{\circ}C$ تا $100^{\circ}C$ تغییر نماید محاسبه کنید.



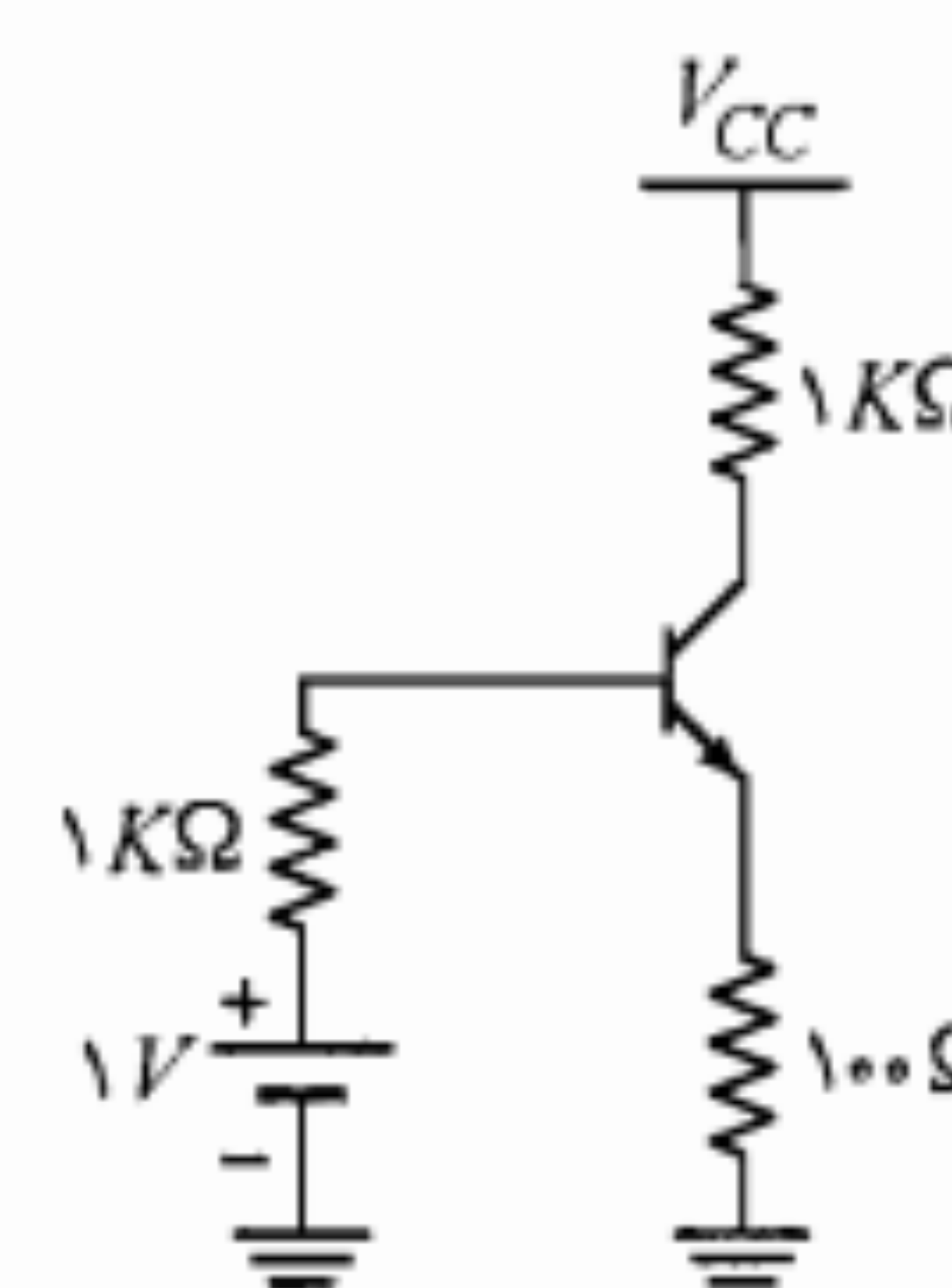
شکل م-۱۹

۱۵. در مدار شکل م-۱۵ ترانزیستورها مشابه و دیودها از نظر تغییرات حرارتی مشابه پیوندهای بیس - امیتر ترانزیستورها هستند. آیا می‌توان R_1 را طوری تعیین کرد که تغییرات حرارتی I_E صفر شود؟ (محاسبه کنید). اگر $\beta_1 = \beta_2 = 100$ باشد، R_E را طوری تعیین کنید که نقطه کار پایداری مطلوبی نسبت به تغییرات β داشته باشد ($V_D = V_{BE} = 0.7V$).



شکل م-۱۵

۱۶. در مدار شکل م-۱۶، با فرض $200^{\circ}C < T < 75^{\circ}C$ ، $50 < \beta < 200$ ، $I_{CBO} = 0.1\mu A$ در $25^{\circ}C$ ، $V_{BE} = 0.7V$ و $V_{CC} = 6V$ ، جریان کلکتور، ضرایب پایداری و تغییرات جریان کلکتور را در بدترین حالت محاسبه کنید.



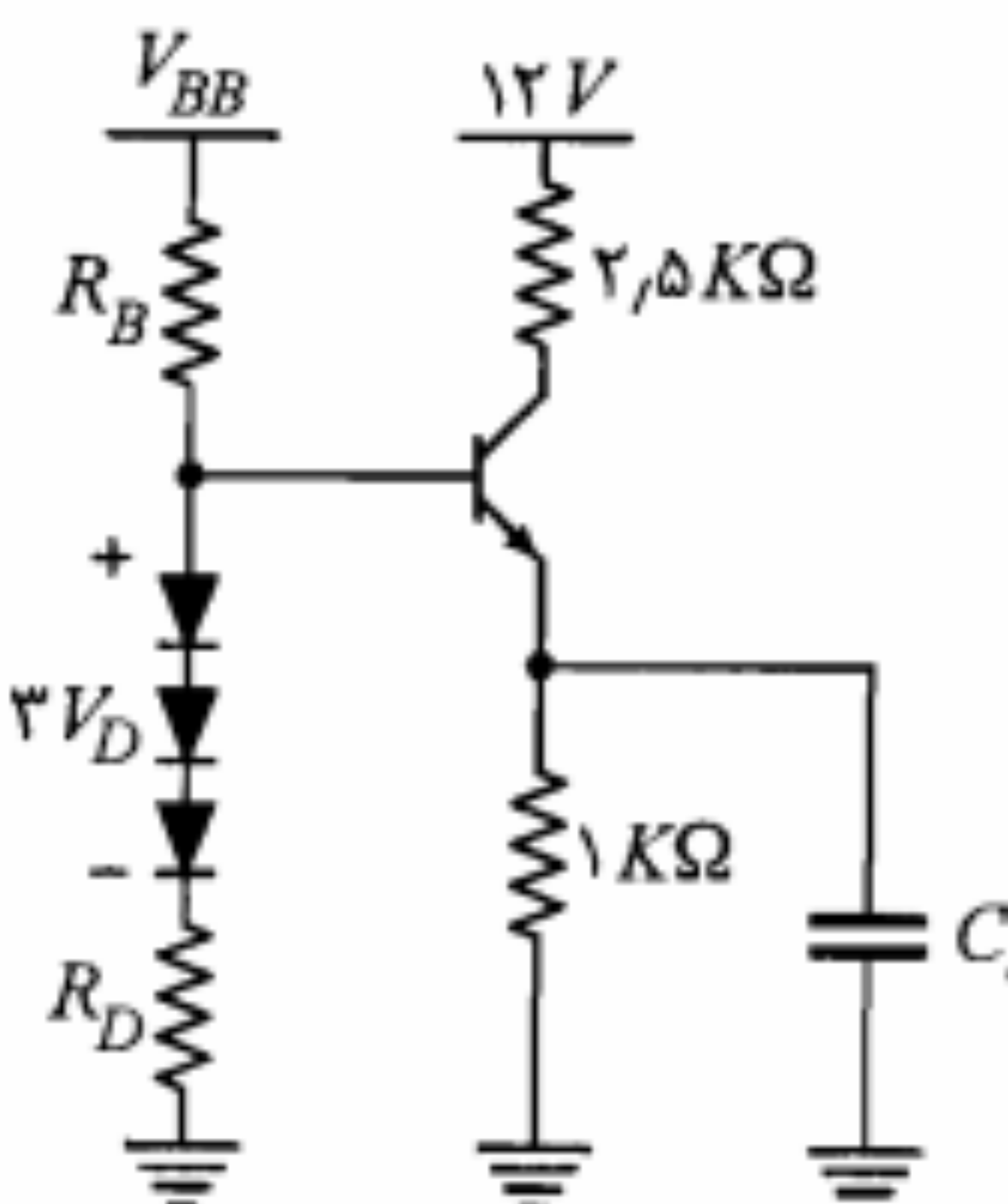
شکل م-۱۶

۱۷. در مدار شکل م-۱۷، R_B را طوری محاسبه کنید که $I_{CQ} \equiv 10mA$ شود. ضرایب پایداری S_I ، S_V و S_β را به دست آورید. تغییرات نقطه کار را با فرض $I_{CBO} = 1\mu A$ (در دمای $25^{\circ}C$)

۲۰. در مدار شکل م-۲۰، با فرض $V_D = V_{BE} = ۰,۷V$ و $\beta \leq ۲۰۰$ ، $۱۰۰ \leq \beta \leq ۲۰۰$ در دمای $۲۵^{\circ}C$ تا $۹۰^{\circ}C$ کار می‌کنند. در مدار شکل م-۲۰-ب ترانزیستور

الف) تحت چه شرایطی مدار از پایداری خوبی نسبت به تغییرات β برخوردار بوده و اثرات حرارتی کاملاً جبران می‌شود؟ (اثبات کنید).

ب) مقادیر R_B ، R_D و V_{BB} را طوری تعیین کنید که ضمن محقق شدن شرایط بند (الف)، نقطه کار ترانزیستور در وسط خط بار ac آن قرار گیرد.



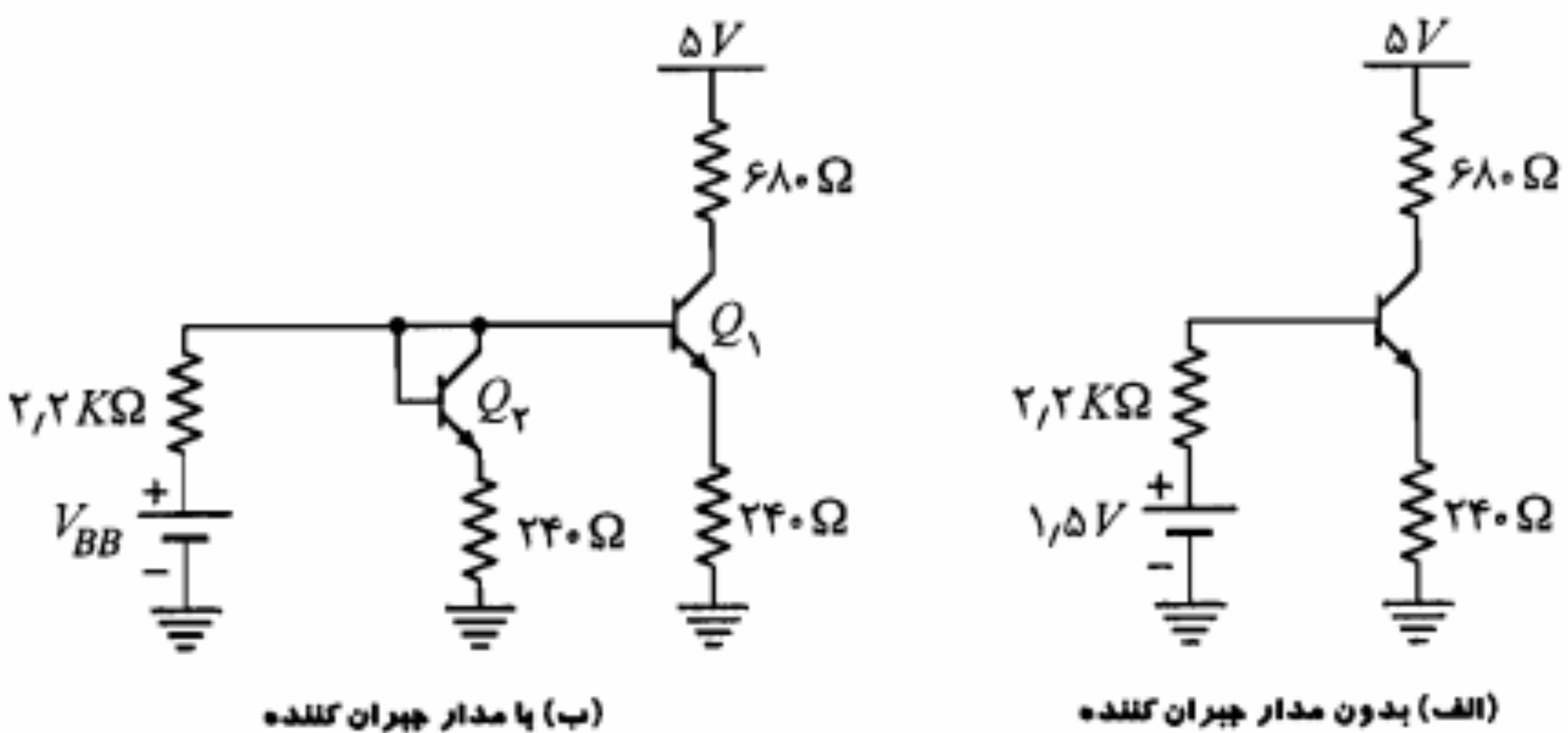
شکل م-۲۰

۲۱. مدار شکل م-۲۱ را در نظر بگیرید.
الف) چه رابطه‌ای بین مقاومتهای R_1 ، R_2 و R_3 برقرار باشد تا تغییرات V_{BE} در اثر تغییر دما به طور کامل جبران شود؟
ب) اگر $\beta = ۲۰۰$ ، $V_D = V_{BE} = ۰,۷V$ ، $V_{CC} = ۱۰V$ ، $R_E = ۱۰۰\Omega$ و $R_C = ۱K\Omega$ باشد، مقادیر R_1 ، R_2 و R_3 را چنان تعیین کنید که دامنه نوسان در خروجی حداقل شود.

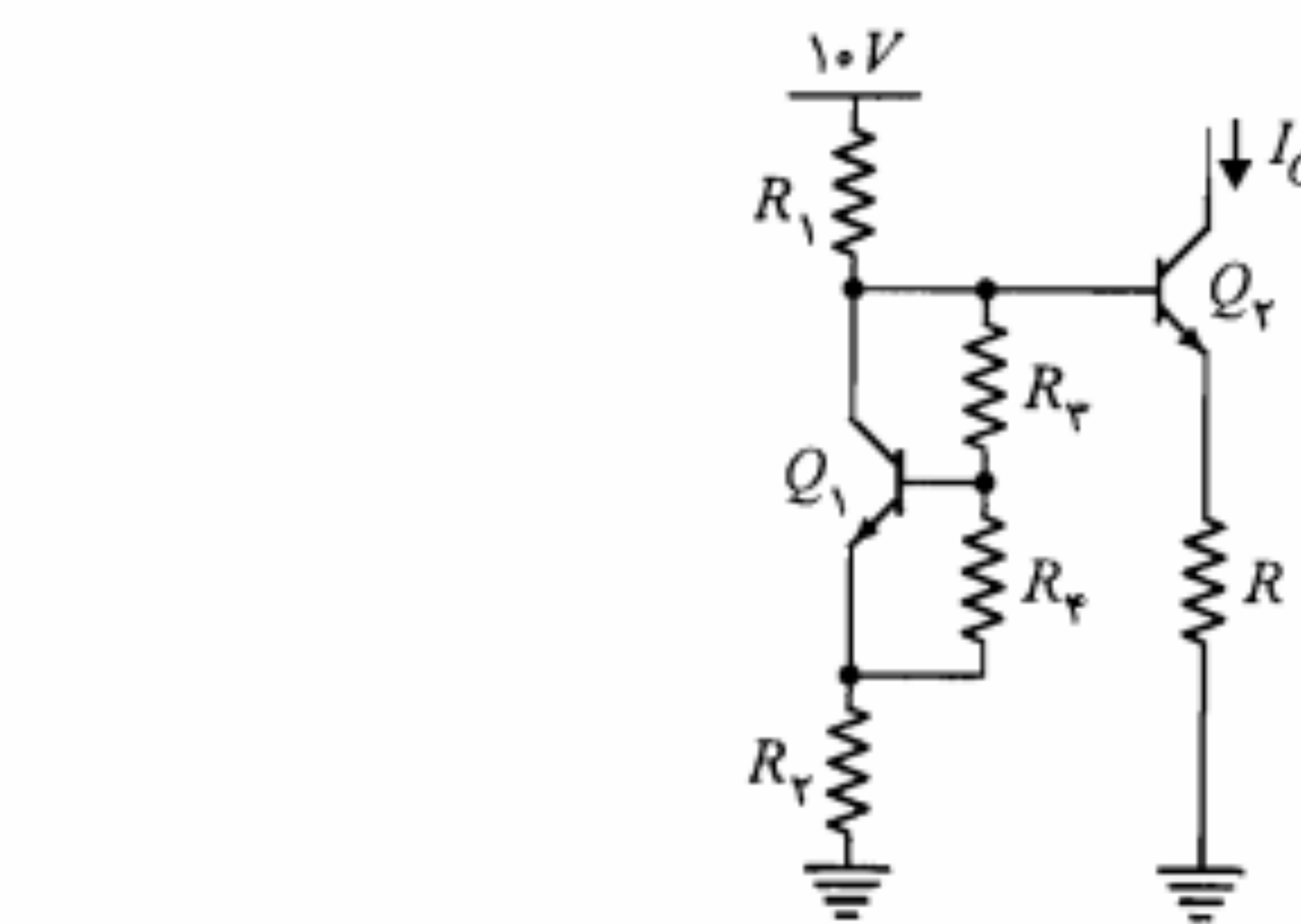
۲۲. در مدار شکل م-۲۲، با فرض $V_{BE} = ۰,۷V$ قرار داده شده است. با فرض $I_{CBO} = ۰$ و $\beta = ۲۰۰$ به منظور جبران تغییرات حرارتی

الف) تغییرات جریان نقطه کار را برای هر دو مدار به دست آورید.

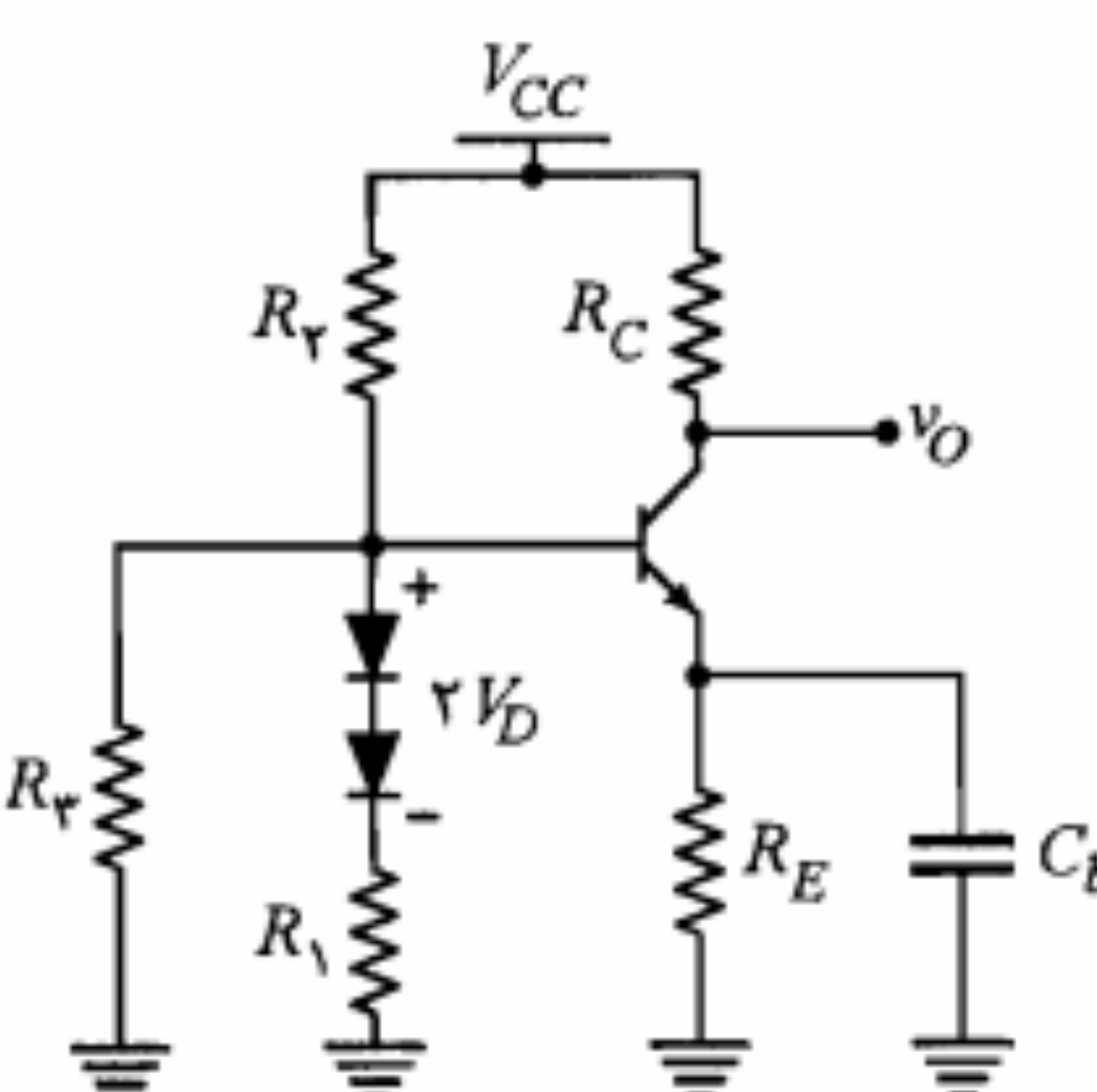
ب) برای مدار شکل (ب)، V_{BB} را محاسبه کنید.



شکل م-۲۰



شکل م-۲۲



شکل م-۲۱

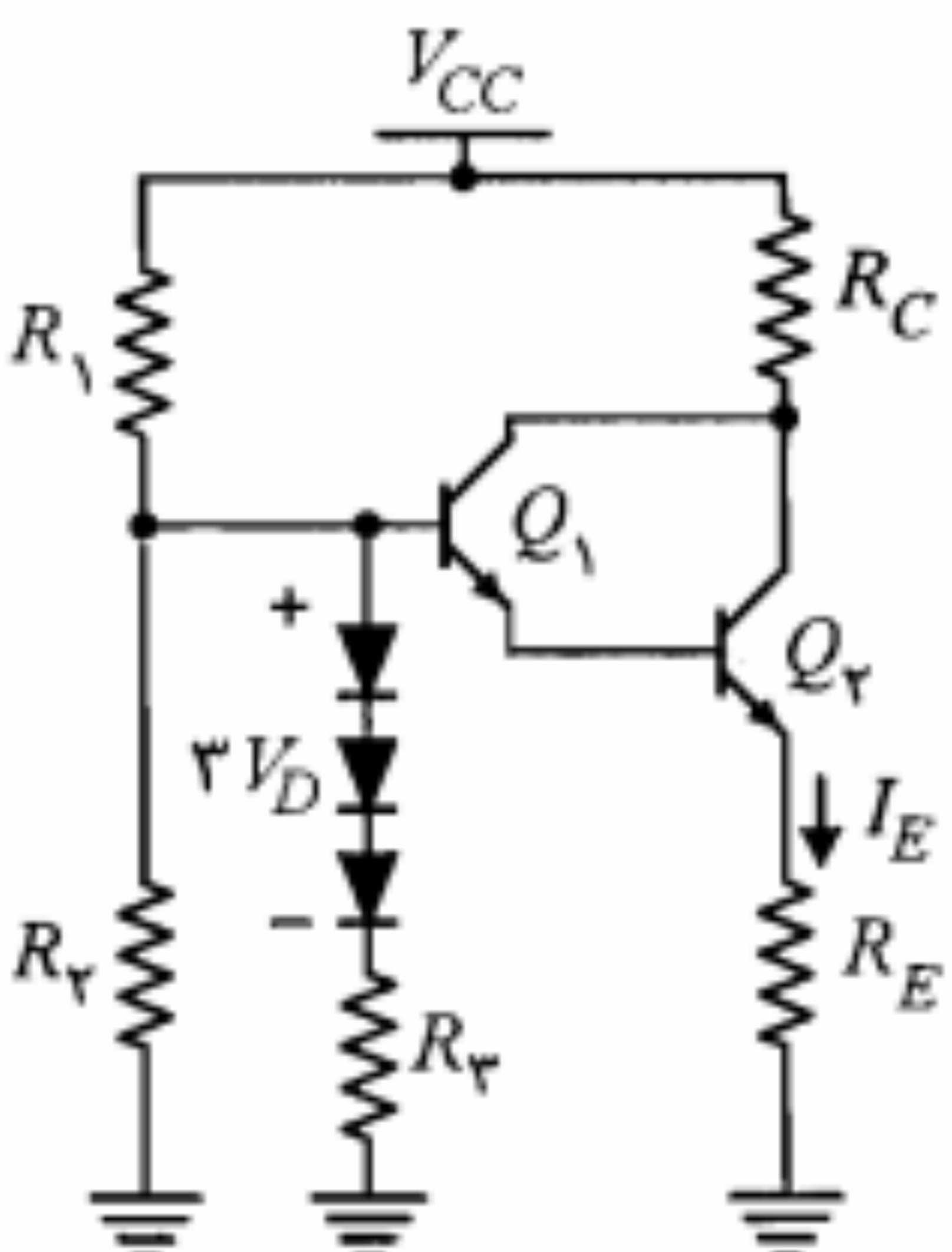
۲۴. در مدار دارلینگتون شکل م-۲۴، β معادل برای زوج ترانزیستورها را 2500 در نظر بگیرید.

الف) معادل تونن مدار بایاس بیس از نقطه B را به دست آورید.

ب) در مدار حاصل جریان I_E را به دست آورید.

ج) آیا می‌توان مقادیر مقاومتهای R_1 و R_2 را طوری تعیین نمود که تغییرات حرارتی نقطه کار کاملاً جبران شود؟ (از تغییرات I_{CBO} و β صرف نظر می‌شود). در صورتی که جواب منفی است، در مدار جبران کننده اصلاح لازم را به عمل آورده و شرایط لازم برای پایداری I_E را بیان کنید.

د) در مدار اصلاح شده با فرض $R = 200\text{ k}\Omega$ و $R_E = 1\text{ k}\Omega$ ، مقادیر R_1 و R_2 را طوری تعیین کنید که مدار از پایداری خوبی نسبت به تغییرات β نیز برخوردار باشد.

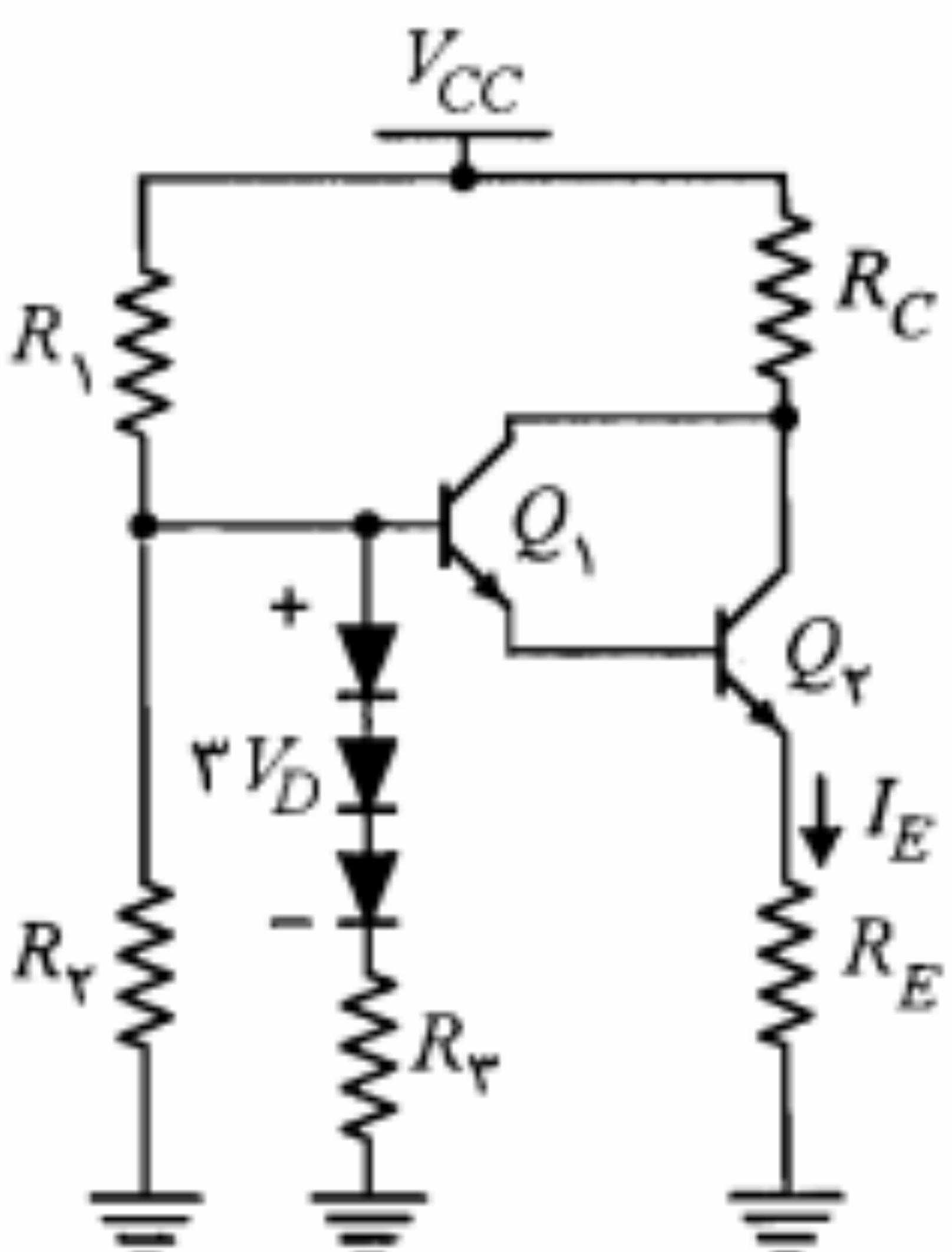


شکل م-۲۴

۲۵. در مدار شکل م-۲۵ با فرض $I_{CBO} = 0$

الف) I_E را برحسب سایر مقادیر مدار به دست آورید.

ب) با فرض تشابه کامل تغییرات حرارتی ولتاژ پیوند در ترانزیستورها و دیودها، شرط لازم برای صفر شدن $\Delta I_E / \Delta T$ را تعیین کنید.



شکل م-۲۵

۲۶. در مدار شکل ۳۵-۵، نشان دهید که با شرط $\frac{\partial V_{BE}}{\partial T} = \frac{\partial V_D}{\partial T}$ تغییرات حرارتی I_E برابر صفر خواهد بود.

۶

تقویت‌کننده‌های ترانزیستوری در فرکانس‌های پایین

آنچه تاکنون در مورد تقویت‌کننده‌های ترانزیستوری آموخته‌ایم، عمدتاً به انجام محاسبات DC تقویت‌کننده و انتخاب نقطه کار مناسب برای ترانزیستور محدود می‌شود. در حقیقت کار طراحی یک تقویت‌کننده، بدون در نظر گرفتن ملاحظات مربوط به سیگنال، نمی‌تواند پایان یافته تلقی شود. در فصل گذشته سیگنال بزرگ و سیگنال کوچک را تعریف نموده و گفتیم که در مواردی که سیگنال ورودی یک تقویت‌کننده سیگنال بزرگ باشد، برای به دست آوردن شکل موج خروجی معمولاً از روش ترسیمی استفاده می‌شود. در این روش همان‌گونه که در شکل ۱۱-۵ مشاهده کردیم، شکل موج جریان و ولتاژ خروجی ترانزیستور با استفاده از خط بار ac و شکل موج سیگنال ورودی به دست می‌آید.

در مواردی که دامنه سیگنال آنقدر کوچک باشد که بتوان در محدوده تغییرات سیگنال، مشخصه‌های خطی فرض کرد، استفاده از روش ترسیمی نه تنها ضرورت ندارد بلکه غالباً غیرعملی است. این نوع سیگنالها را سیگنال‌ها را سیگنال کوچک گویند و برای آنها می‌توان ترانزیستور را با یک مدل خطی مناسب جایگزین نموده و سپس پاسخ تقویت‌کننده را از طریق محاسبه به دست آورد.